

## 歪なし模型での津波実験

東北大学工学部 正員 工博 岩崎 敏夫  
同 上 正員 佐藤 栄司  
東北大学大学院 学生員 ○森河 久

### 1. 序 言

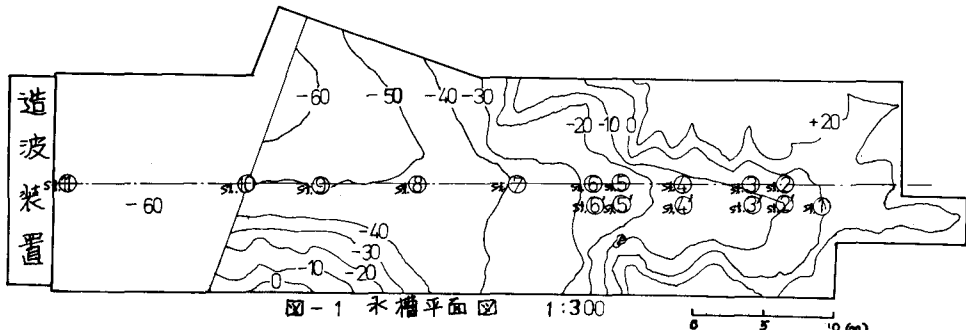
津波を海岸工学的立場から研究するにあたり、津波の発生頻度が少なく、また陸に近づくにつれて Shearing 効果や三次元効果が大きくなる等の理由で、一種のアナログ計算機としての模型実験の果たす役割は大きいと思われる。しかし波長が長く、模型に含ませるべき区域を広くとらねばならないのに、他方測定の精度や抵抗法則の関係で鉛直縮尺はせいぜい  $1/100$  位より小さくはできない。従って利用すべき地積の関係で、水平縮尺を  $1/500$  へ  $1/3000$  程度にとった歪模型を用いるのが従来の手法であった。しかし、反射、屈折、回折等の効果はその為に実情とあわなくなり、また歪が大きくなると海底粗度を実際より大きくとらねばならないなどの困難が生じ、実験結果の信頼度を大いに低下する。東北大学では従来の津波水槽に改良を加え、歪なし模型による大型平面水槽での実験を可能にしたので、ここにその結果を報告する。

### 2. 実験概要

図-1は津波水槽および対象としたH湾の等深線であり、水平、鉛直とも歪なしの縮尺  $1/100$  である。すなはち幅15m、長さ約60mで、既報の水槽の側壁高さを今回は70cmとし、湾口での水深を60cmとした。湾軸は、津波が侵入する時、岬や半島の影響が最も少ないと考えられるENE方向であるとし、これと実験水槽の軸を合わせて設置した。フルード則によって時間、流速縮尺は  $1/10$  である。また原型、模型とともに乱流であるから、抵抗法則としてマンニングの公式が適用されるとすれば、粗度係数  $n$  の縮尺率は  $1/2.15$  となる。現地の  $n$  の値を0.03とすれば模型においては0.014となり、模型底面はモルタル仕上げでよい。

実験目的は、湾の振動特性をこれによって明らかにしようと/orするもので、湾内を護岸等によって埋立て、土地造成を行なった場合の振動特性の変化をも明らかにしようとした。従って当初のH湾の実験をC-1、後者の場合の実験をC-2と表わした。水位は東京湾中等潮位とした。

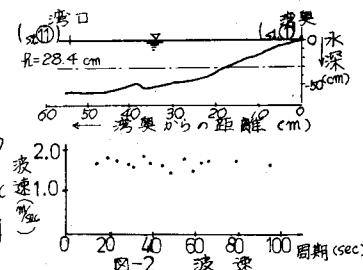
造波装置は既報の電気油圧式自動制御装置であり、波高2cm(2m)の正規規則波の場合には周期を15sec(2.5min)～240sec(40min)の18種類とし、6波造波した。また別に不規則波として昭和



43年十勝沖津波の際の宮城県江ノ島の検潮記録をカムに刻み、回転速度を変えて2種類造波した。正弦波の場合には図-1に示すSt.①～④の波形をペン書きオフログラフに、また不規則波の場合にはSt.①②③の3個の波形をデーターレコーダーに記録した。尚C-1の場合St.⑤～⑦も測定した。

### 3. 波速と固有周期

図-2は各測定点の波高記録より水の動き始めた時刻から求めた。St.①からSt.④までの伝播速度を周期を横軸に1/2プロットしたものが、これにより波速は周期に無関係であることがわかる。原よりこれを逆算すると28.4cm(28.4m)となり、模型の平均水深にはほぼ等しい。C-1の場合1.13m/sec, C-2の場合0.95m/secであって湾長 $l = 14m$ (1400m)とする矩形湾とすれば、固有周期 $T = 4\pi/\sqrt{g/l}$ よりC-1に対し49.5sec(8.25min), C-2に対し58.8sec(9.80min)となった。従って明らかに湾中の影響が弱むる。



### 4. 規則波の波高増幅率

自動制御による造波機能は反射波を打ち消すので、St.①の波高は入射波高と1/2である。また湾奥ではSt.④を当然とるべきであるが、ひき波の影響で、その際はSt.②をとり、後者の前者に対する比を波高増幅率と考えた。

i) C-1 図-3は湾奥が自然海浜が底の場合と津波防潮堤を設けた場合におけるSt.①での増幅率の周期による変化を示した。波形勾配が大きいと

## 5. 不規則波のレスポンス

### a. フーリエパワースペクトル

#### i) C-1 線形応答系において

は外洋スペクトルを  $S_1(f)$ 、湾のパワースペクトルを  $S_2(f)$  とすれば  $S_2(f) = A^2(f) \cdot S_1(f)$  である。ここでは  $S_1(1)$  と  $S_1(2)$  の波高記録よりフーリエパワースペクトル  $S_{F1}(T)$ 、 $S_{F2}(T)$  を求め 近似的に  $S_{F2}(T) = A_F^2(T) \cdot S_{F1}(T)$  が成立つものとして解析し、図-5-1に示した。

この場合不規則波の磁気テープより、1.5 sec 間隔で紙テープ上に

10  
50  
100  
500

$A^2(f)$

10  
100  
1000

$A_F^2(T)$

10  
100  
1000

$S_{F1}(T)$

10  
100  
1000

$S_{F2}(T)$

10  
100  
1000

$R.W.1-S_{F1}(T)$

10  
100  
1000

$R.W.2-S_{F1}(T)$

10  
100  
1000

$R.W.1-S_{F2}(T)$

10  
100  
1000

$R.W.2-S_{F2}(T)$

10  
100  
1000

$R.W.1$

10  
100  
1000

$R.W.2$

0 20 40 60 80 100

T(sec)

図-5-1

10  
100  
1000

$A^2(f)$

10  
100  
1000

$A_F^2(T)$

10  
100  
1000

$S_{F1}(T)$

10  
100  
1000

$S_{F2}(T)$

10  
100  
1000

$R.W.1-S_{F1}(T)$

10  
100  
1000

$R.W.2-S_{F1}(T)$

10  
100  
1000

$R.W.1-S_{F2}(T)$

10  
100  
1000

$R.W.2-S_{F2}(T)$

10  
100  
1000

$R.W.1$

10  
100  
1000

$R.W.2$

10  
100  
1000

$R.W.1$

10  
100  
1000

$R.W.2$

0 20 40 60 80 100

T(sec)

図-5-2

10  
100  
1000

$A^2(f)$

10  
100  
1000

$A_F^2(T)$

10  
100  
1000

$S_{F1}(T)$

10  
100  
1000

$S_{F2}(T)$

10  
100  
1000

$R.W.1-S_{F1}(T)$

10  
100  
1000

$R.W.2-S_{F1}(T)$

10  
100  
1000

$R.W.1-S_{F2}(T)$

10  
100  
1000

$R.W.2-S_{F2}(T)$

10  
100  
1000

$R.W.1$

10  
100  
1000

$R.W.2$

10  
100  
1000

$R.W.1$

10  
100  
1000

$R.W.2$

0 20 40 60 80 100

T(sec)

図-6-1

10  
100  
1000

$A^2(f)$

10  
100  
1000

$A_F^2(T)$

10  
100  
1000

$S_{F1}(T)$

10  
100  
1000

$S_{F2}(T)$

10  
100  
1000

$R.W.1-S_{F1}(T)$

10  
100  
1000

$R.W.2-S_{F1}(T)$

10  
100  
1000

$R.W.1-S_{F2}(T)$

10  
100  
1000

$R.W.2-S_{F2}(T)$

10  
100  
1000

$R.W.1$

10  
100  
1000

$R.W.2$

10  
100  
1000

$R.W.1$

10  
100  
1000

$R.W.2$

0 20 40 60 80 100

T(sec)

図-6-2

### b. パワースペクトル

#### i) C-1 R.W.2に対して入射

1.0  
A  
f  
S(f)  
S2(f)

波、湾奥波のパワースペクトル

$S_1(f)$ ,  $S_2(f)$  を求めたのが 図-

7-1 である。図-7-2に湾の

パワー増幅度  $A^2(f)$  を与えた。計算

10  
50  
100  
500

$A^2(f)$

10  
100  
1000

$A_F^2(T)$

10  
100  
1000

$S_{F1}(T)$

10  
100  
1000

$S_{F2}(T)$

10  
100  
1000

$R.W.1-S_{F1}(T)$

10  
100  
1000

$R.W.2-S_{F1}(T)$

10  
100  
1000

$R.W.1-S_{F2}(T)$

10  
100  
1000

$R.W.2-S_{F2}(T)$

10  
100  
1000

$R.W.1$

10  
100  
1000

$R.W.2$

10  
100  
1000

は3 sec 間隔、サ: プリニグ数  $S(f)$   
 $+0.0$  自由度16でわり、a)と  
 $(mm^2/sec)$

同様T.S.S.を適用しに。二(より)

湾に対するレバボンスが明瞭となる

といふ。図-7-2より  $f =$

0.017 cycle ( $T = 0.05$  sec) とす

$= 0.04$  cycle ( $T = 25$  sec), 逆

にL-1とす、といふ。二(二)は

のピークはモードとモード

の振動周波数に相当していふ。

$S_2(f)$ と  $A^2(f)$ を比較するとモード

の付近のピークはそれといふ。

これは湾のパワースペクトルと

湾のパワーベクトルを明確に区別す

べきことを示すといふ。

ii) C-2 湾中が減少した場合  $(mm^2/sec)$

について図-7と同様 図-8-

1に  $S_1(f)$ ,  $S_2(f)$ , 図-8-2に

$A^2(f)$ をえた。  $A^2(f)$ と C-1 と比

較するとピーク値は2倍以上とい

つており 波高増幅率は1.5倍位

といふ。C-1に対し  $f/f_0 = 1$

に近づき、湾形状に伴う 湾山

補正値が小さくなつてと示して

いる。

## 6. 結 語

自然海岸における湾において、  
 正弦波から波高増幅率、不規則波

よりフーリエパワースペクトル、パワースペクトルを求めて解析した結果、振動特性がみられ、それは矩形湾と近似して求められた振動周期と一致する。湾中の減少に伴う波高増幅率の変化は1.2~1.5倍となる。最後に、極めて熱心に実験を実施された東北大学学生 高木芳夫君、真野 明君、東北工業大学学生 佐藤利夫君、佐藤義人君、東北学院大学学生 武藤 康君に感謝致します。尚本研究は昭和46年度文部省特定研究「津波の浅海域での特性に関する総合的研究(代表者、東京大学堀川清司教授)」に費用の一節の助成をうけた。

## <参考文献>

『長波研究用造波装置とその特性について』 岩崎 敏夫、楊 洋民 第13回海岸工学講演集

